



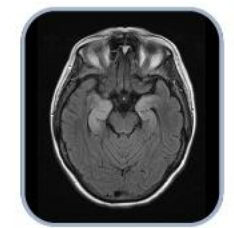
## 15 y 16 de febrero de 2024 | MADRID

Sede: CINESA. C/ Fuencarral 136

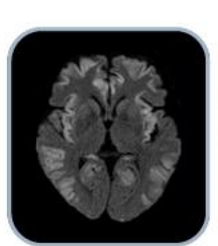


# Neuroimagen en los trastornos del movimiento

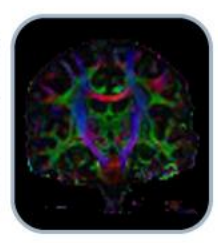
Víctor M Suárez Vega MD, PhD, EDiNR Clínica Universidad de Navarra, Campus Madrid













15 y 16 de febrero de 2024 | MADRID

# No conflicto de interés Y además... pido perdón por anticipado por los anglicismos que contiene la charla



# **ESQUEMA**



Radiología en la Patología Neurodegenerativa, Desmielinizante e Infecciosa del SNC

15 y 16 de febrero de 2024 | MADRID

# **EVFPARKINSONidiopática**

CLASIFICACIÓN TRAST MOV



- RM
- No Medicina Nuclear
- No revisión clínica

HALLAZGOS EN IMAGEN (RM) PAPEL TÉCNICAS AVANZADAS

MSCELÁNEA



Radiología en la Patología Neurodegenerativa, Desmielinizante e Infecciosa del SNC

15 y 16 de febrero de 2024 | MADRID

# SÍNDROMES PARKINSONIANOS

Síndromes parkinsonianos primarios



Síndromes parkinsonianos *secundarios* 

Infección

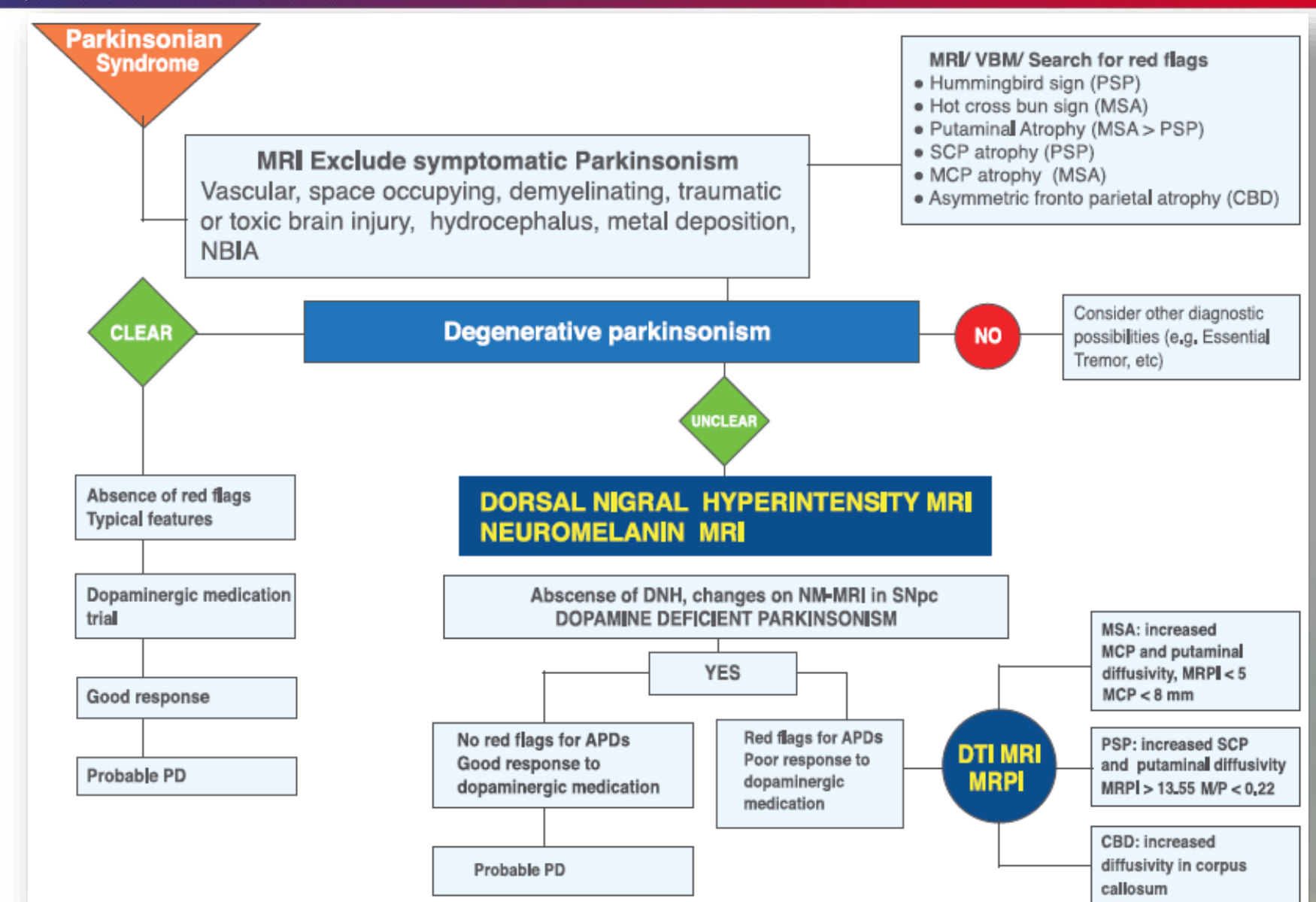
Infarto

Drogas/toxinas





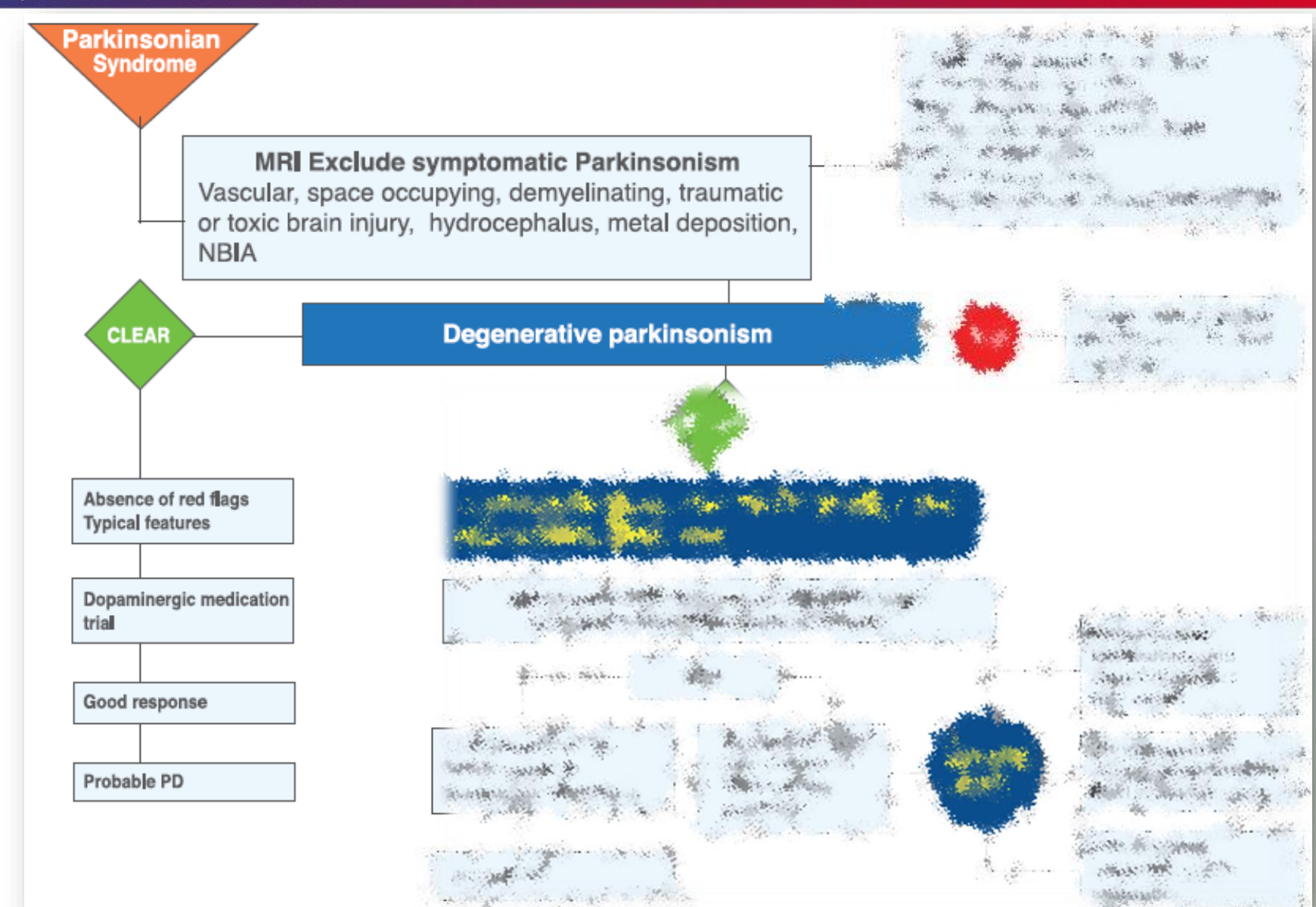
15 y 16 de febrero de 2024 | MADRID



doi: 10.1002/mdc3.13354

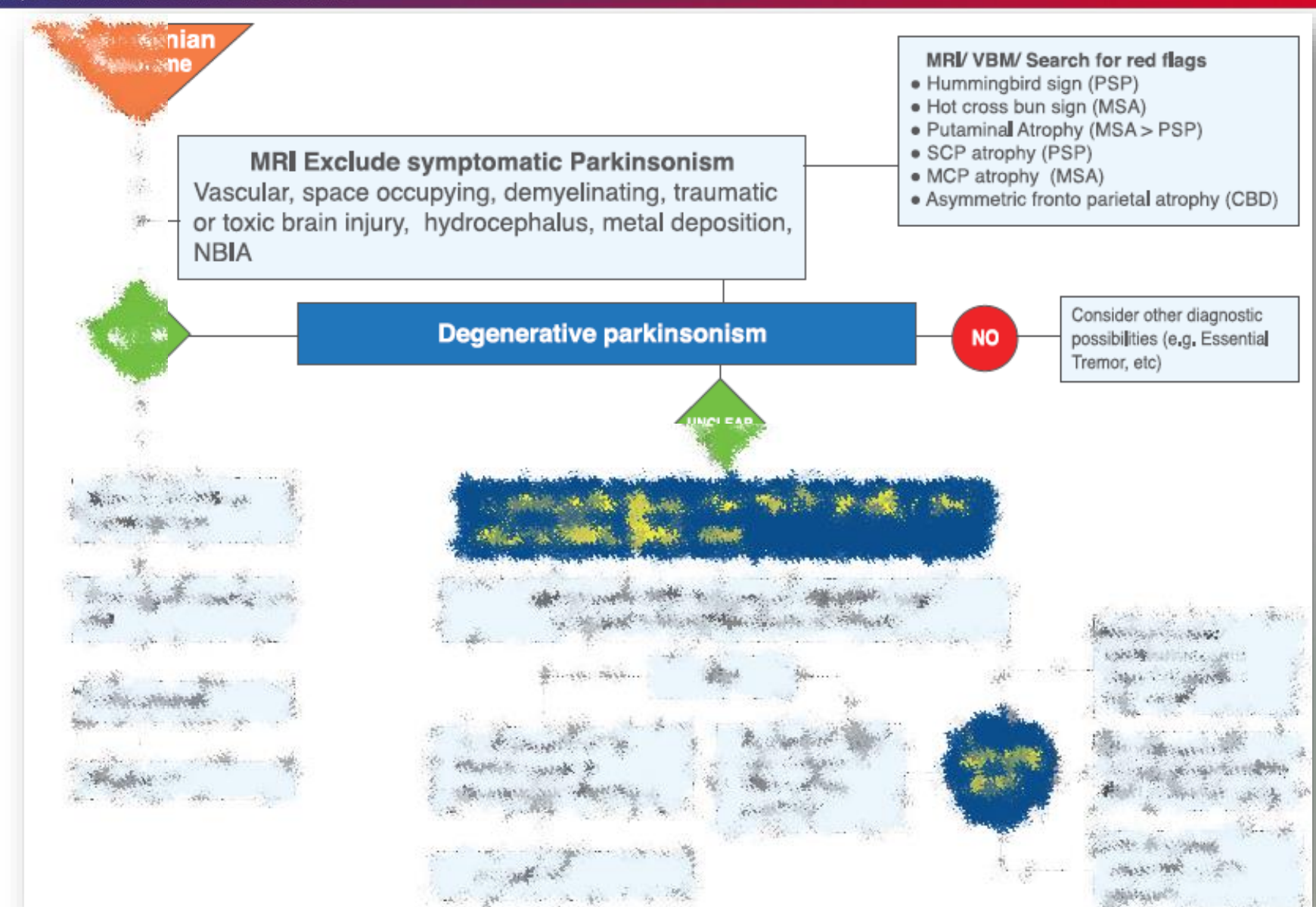






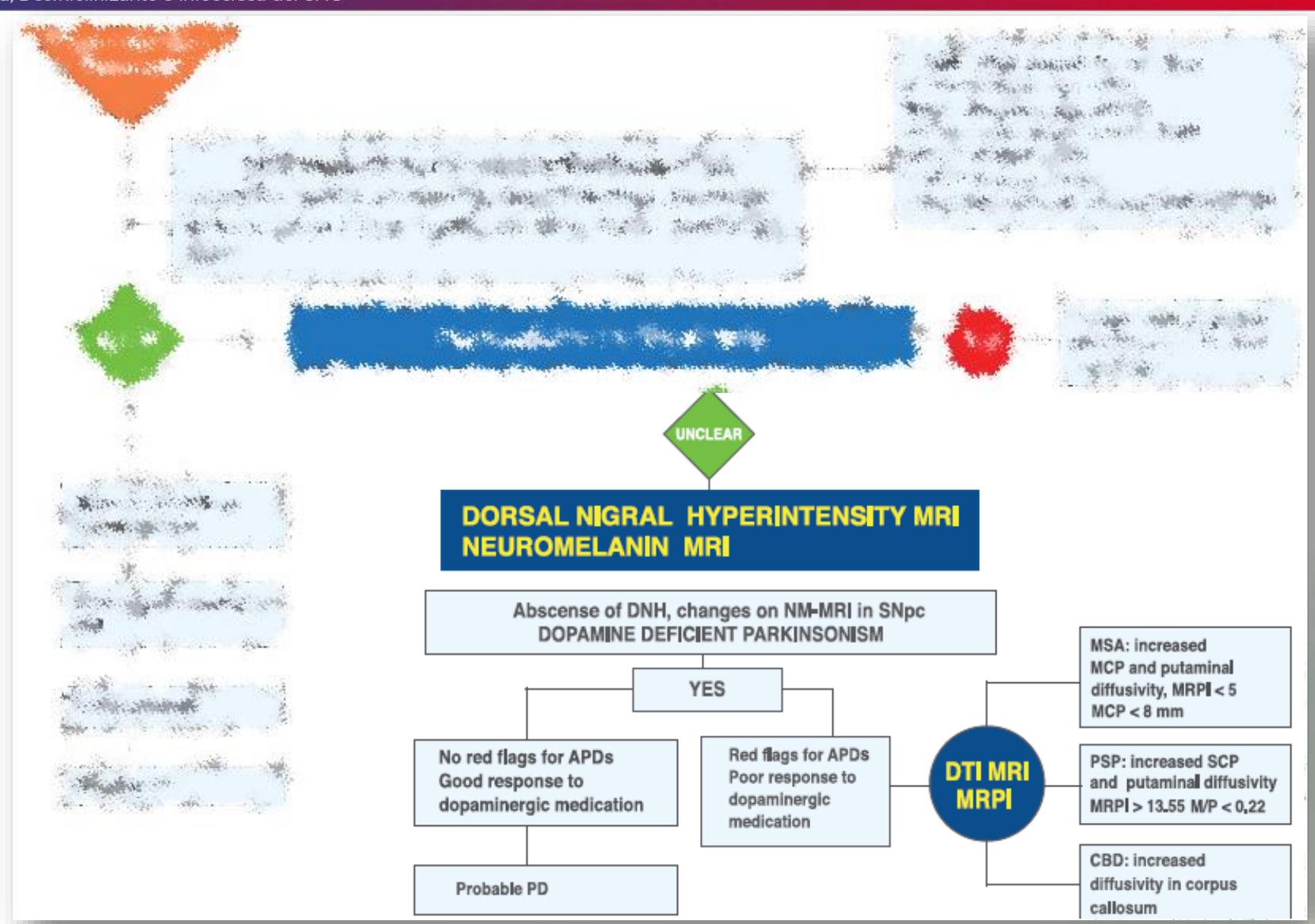












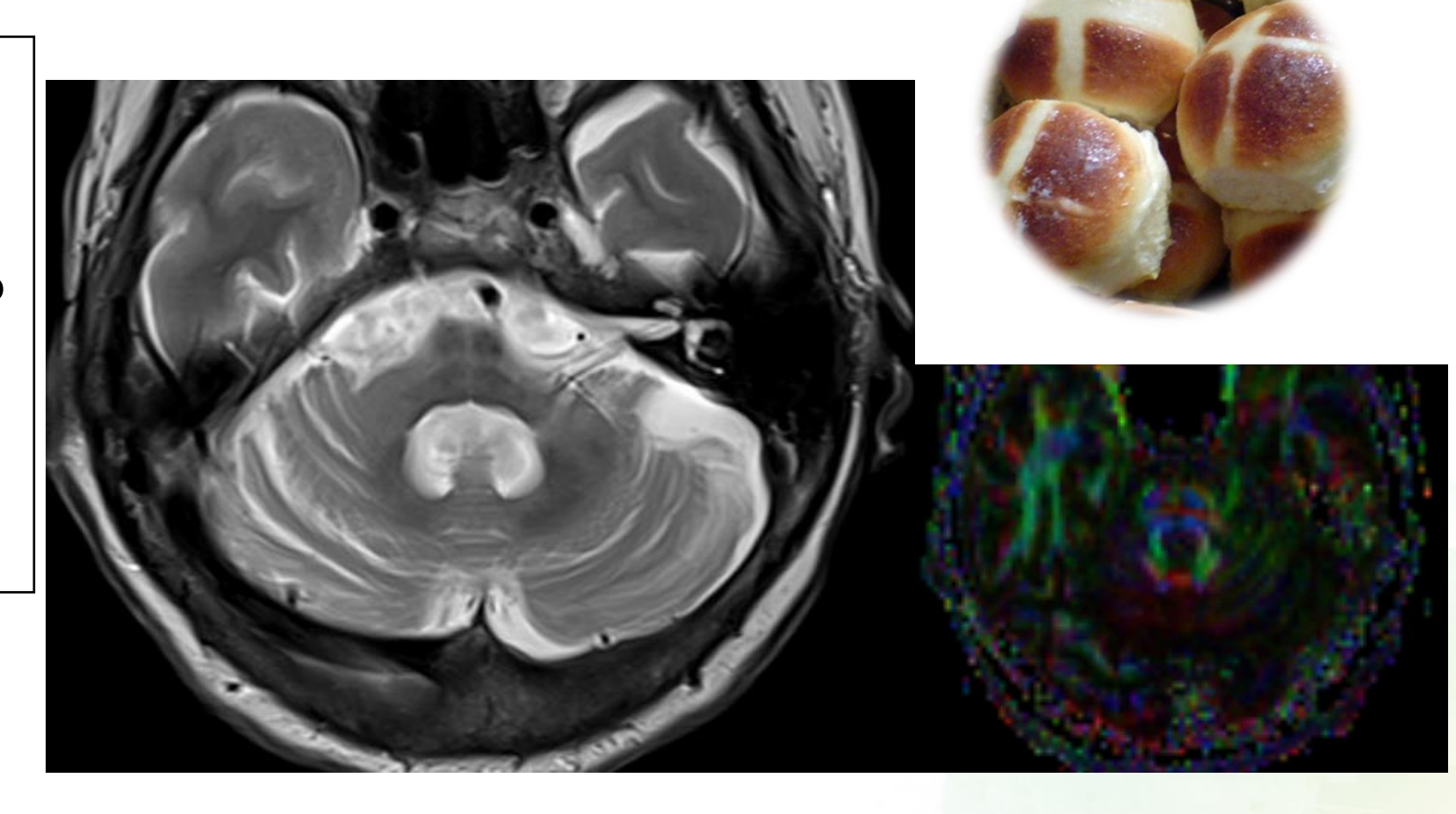


Radiología en la Patología Neurodegenerativa, Desmielinizante e Infecciosa del SNC

15 y 16 de febrero de 2024 | MADRID

# PANECILLO CUARESMA (HOT CROSS BUN)

- Hiper T2 por degeneración selectiva:
  - tractos pontocerebelosos transversos
  - núcleo pontino del rafe medio
- AMS-C no exclusivo
- Ataxia espinocerebelosa
- HiperT2 ambos PCM

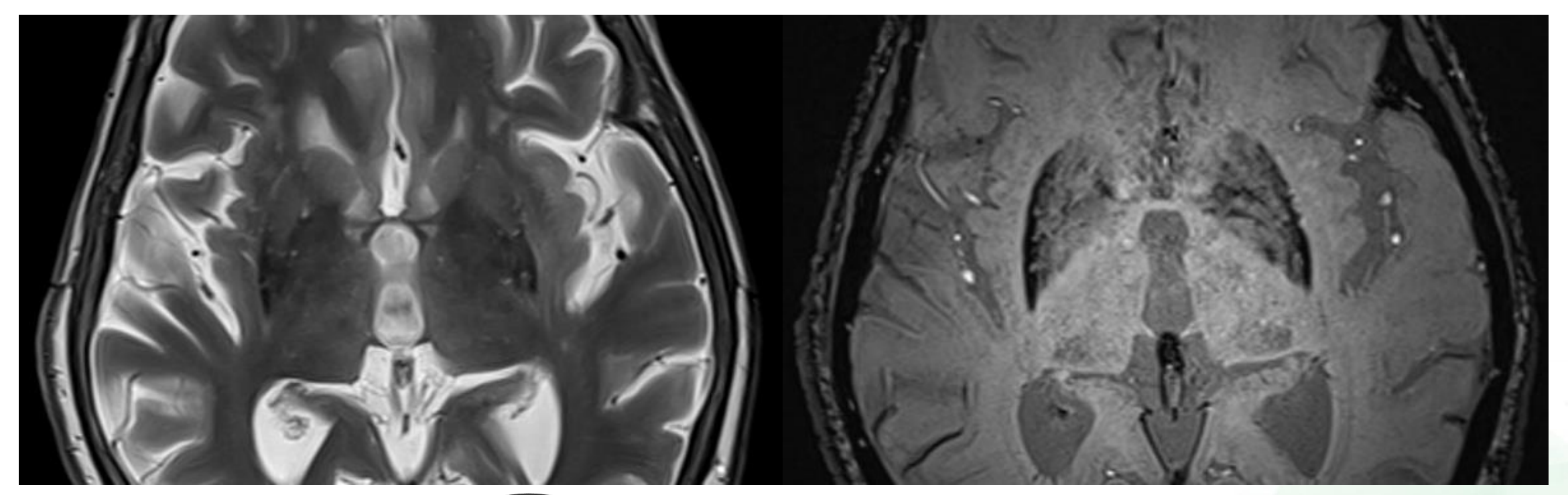






15 y 16 de febrero de 2024 | MADRID

## **PUTAMINAL RIM SIGN**





- Halo putaminal
- HiperT2
- 1.5 Tesla
- AMS-P

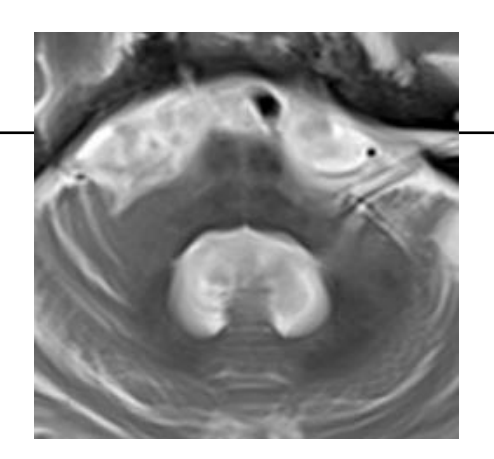


Radiología en la Patología Neurodegenerativa, Desmielinizante e Infecciosa del SNC

15 y 16 de febrero de 2024 | MADRID

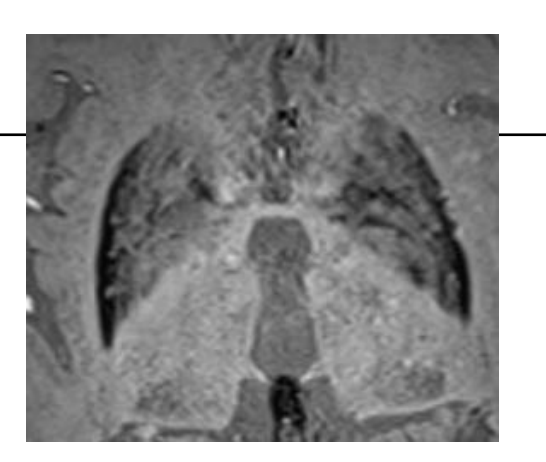
# **AMS-C**

- Atrofia olivo-pontocerebelosa
- Predominan síntomas cerebelosos



# **AMS-P**

- Degenerac estriatonígrica
- Predominan síntomas parkinsonianos



# **AMS-A**

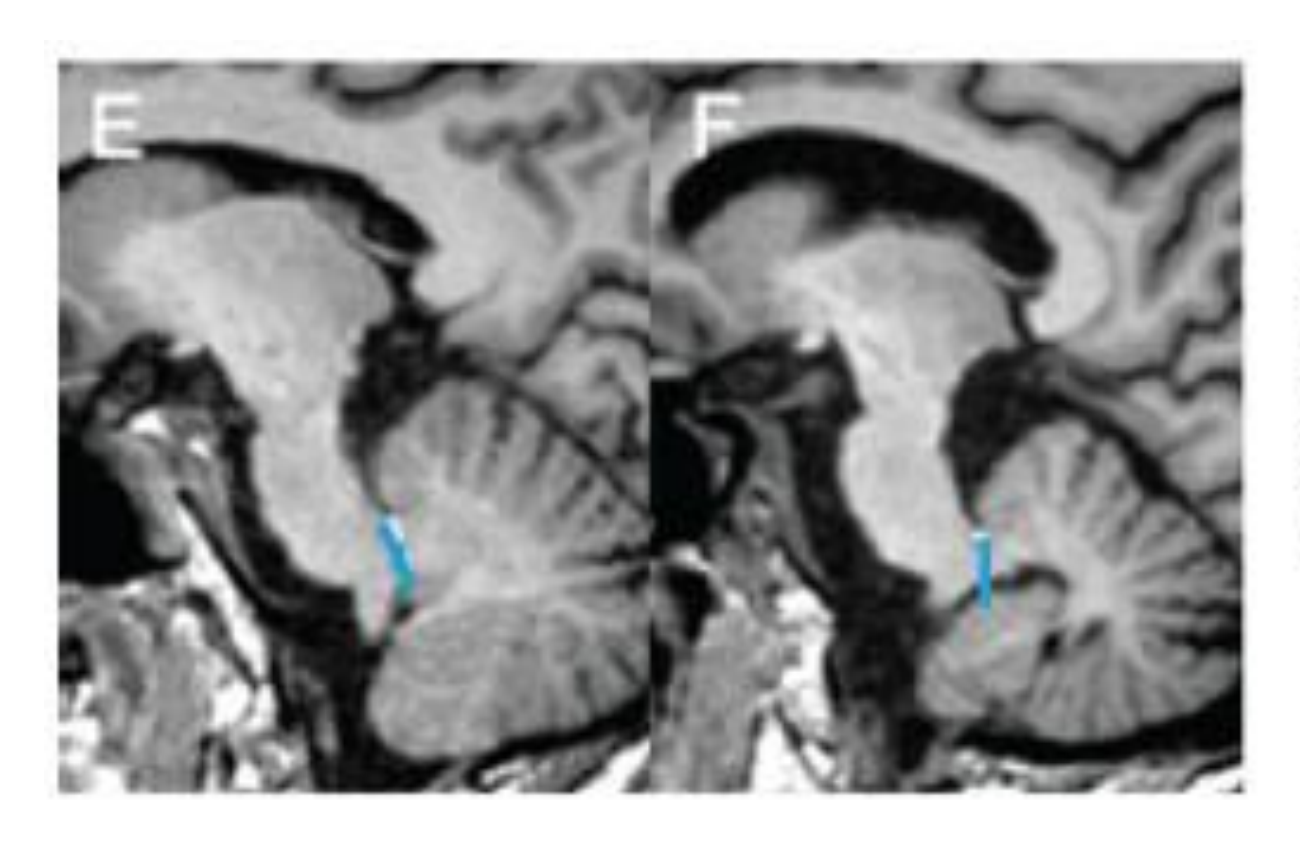
- Síndrome Shy-Drager
- Predominan síntomas disautonómicos



Radiología en la Patología Neurodegenerativa, Desmielinizante e Infecciosa del SNC

15 y 16 de febrero de 2024 | MADRID

# AMS- análisis cuantitativo



A MCP diameter <8.0 mm has high diagnostic accuracy in separating MSA from PD



Radiología en la Patología Neurodegenerativa, Desmielinizante e Infecciosa del SNC

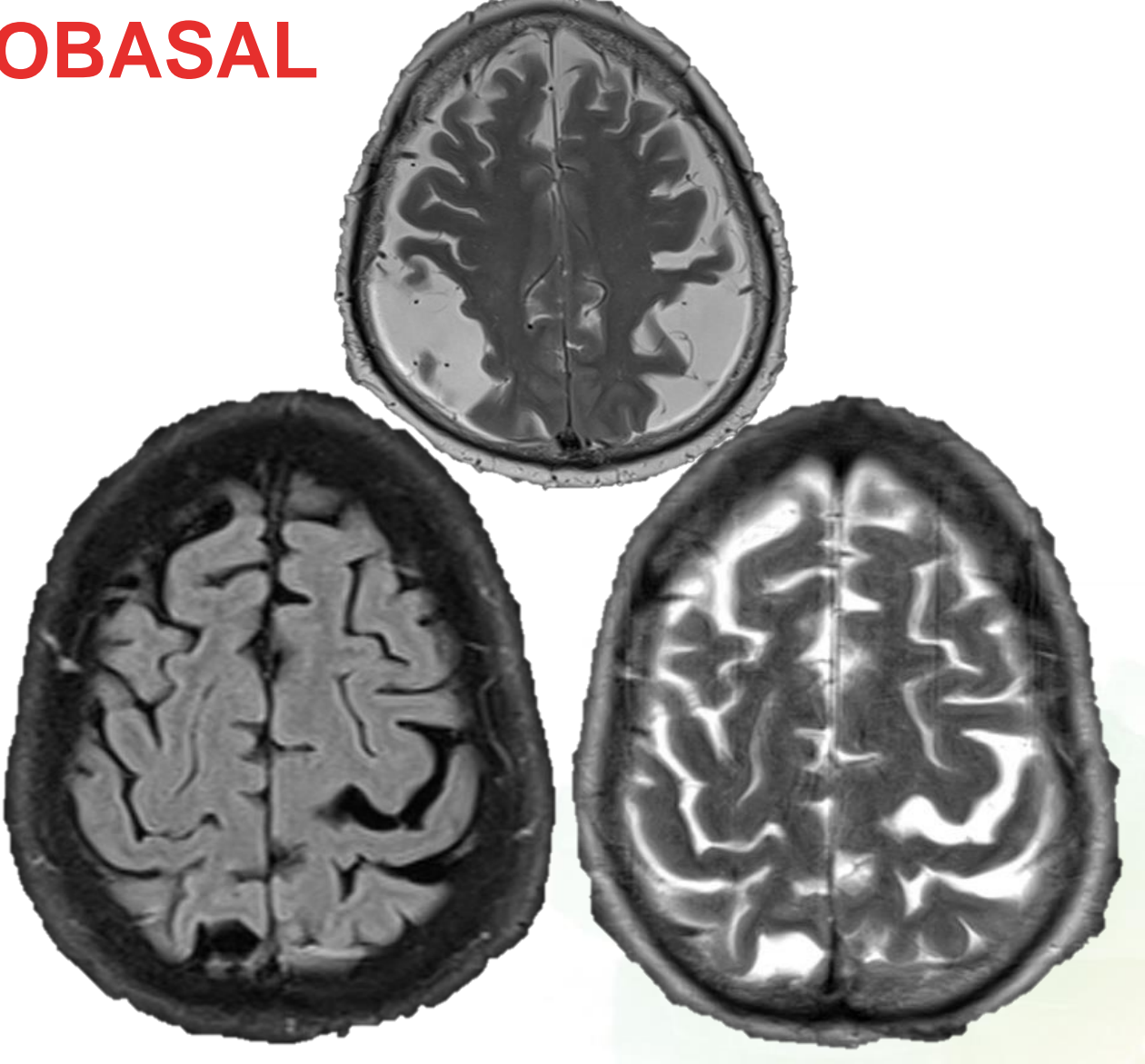
15 y 16 de febrero de 2024 | MADRID

DEGENERACIÓN CÓRTICOBASAL

- SCB ≠ DCB
- DCB sólo para Taupatía
- Progresivo, con anomalías del movimiento asimétricas, mioclonías, signos corticales apraxia ideomotora y fenómeno de miembro alienígena



Hiperintensidad SB en T2

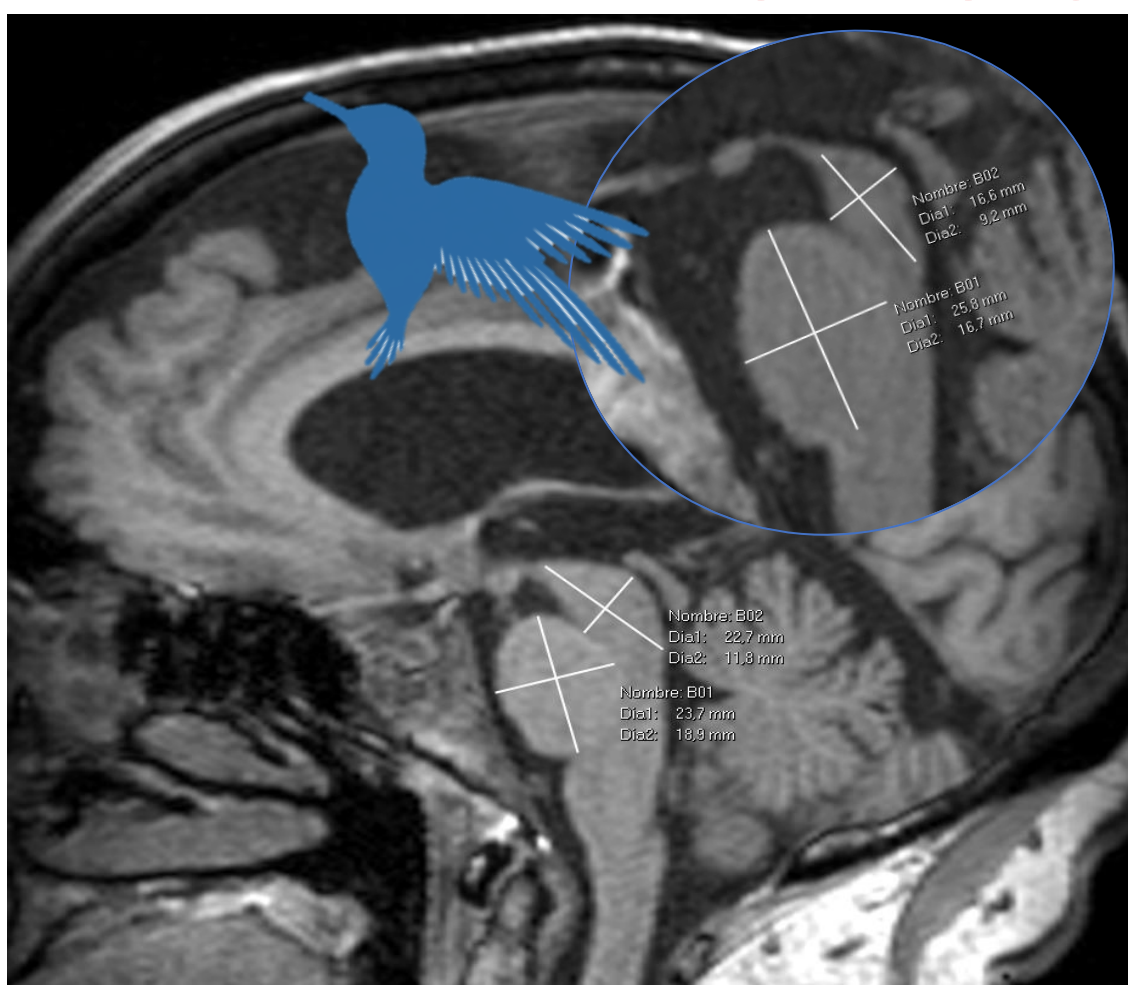




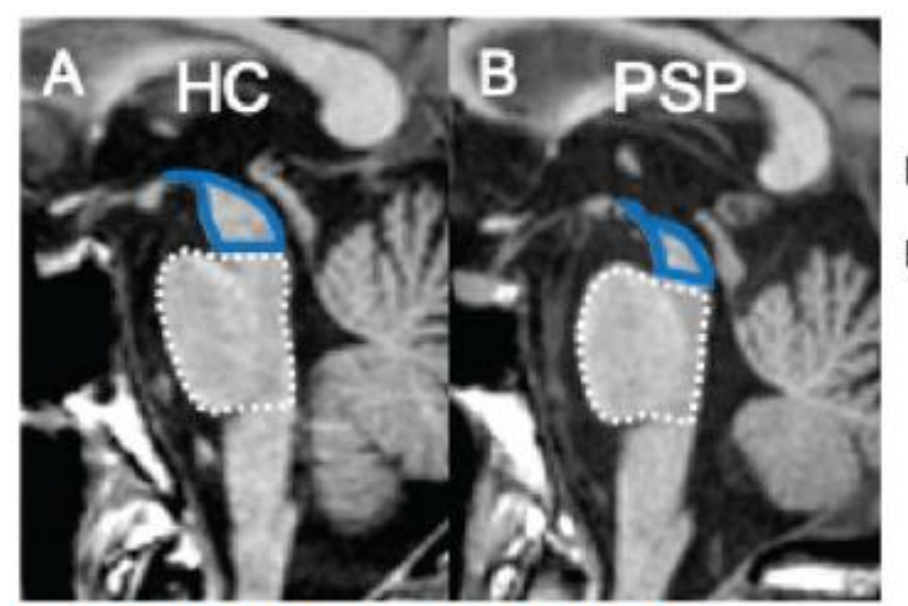
Radiología en la Patología Neurodegenerativa, Desmielinizante e Infecciosa del SNC

15 y 16 de febrero de 2024 | MADRID

# **PSP: SIGNO DEL COLIBRI**



- Ancho M < 9,35 mm
- Ratio M/P < 0,52 (E: 100% PSP)



Midbrain area (M)
Pontine area (P)

M- P ratio: M/P area, cut off < 0.21

doi: 10.1002/mdc3.13354



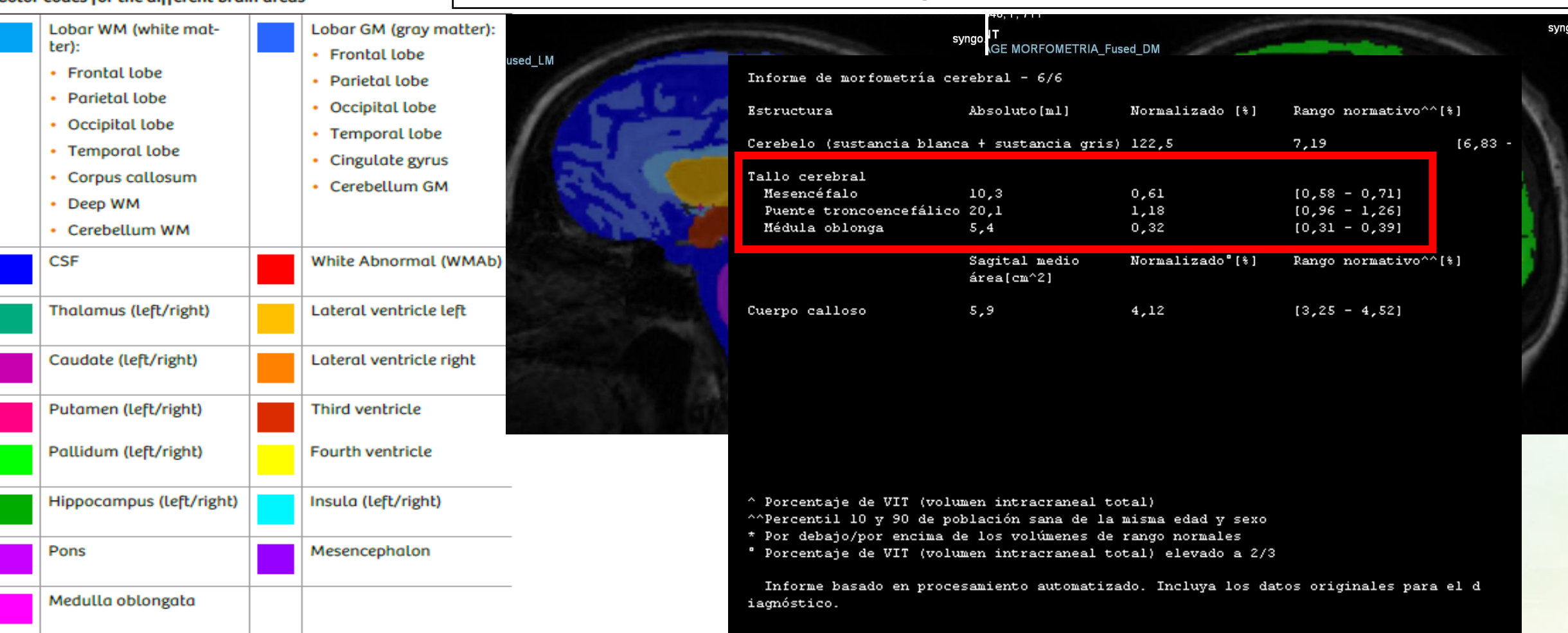


15 y 16 de febrero de 2024 | MADRID

# **PSP: SIGNO DEL COLIBRI**

Volumetría: "Software SyngoviaBrainMorphometry, Siemens

## Color codes for the different brain areas







15 y 16 de febrero de 2024 | MADRID

# **PSP: SIGNO DEL COLIBRI**

BIOMARCADORES	PSP	EP	P valor
Anchura mesencéfalo (mm) <sup>a</sup>	8.5 [7.7-9.1]	10.8 [10.4-11.3]	<0.001 <sup>b</sup>
Anchura puente (mm) a	17.4 [16.5-18]	17.7 [17.2-18.7]	0.093
Ratio M/P medidas planimétricas <sup>a</sup>	0.48 [0.44-0.54]	0.61 [0.57-0.64]	<0.001 <sup>b</sup>
Volumen automatizado mesencéfalo N (ml) <sup>a</sup>	0.56 [0.53-0.58]	0.64 [0.59-0.67]	<0.001 <sup>b</sup>
Volumen automatizado puente N (ml) <sup>a</sup>	0.99 [0.94-1.05]	1.1 [1.03-1.16]	<0.001 <sup>b</sup>
Ratio vol M/P automatizado N a	0.55 [0.53-0.59]	0.57 [0.56-0.6]	0.0157







15 y 16 de febrero de 2024 | MADRID

# PARKINSON IDIOPATICO

- Estructura clave afectada es la sustancia negra (SN)
- La RM rutina no muestra alteraciones típicas en T1 y T2
- Dgo clínico
- Criterios de la Sociedad de Trastornos del Movimiento (MDS) no contemplan RM
- RM no está aprobada como biomarcador para el diagnóstico diferencial de síndromes parkinsonianos
- La morfometría cerebral, en investigación, revela cambios estructurales 

   adelgazamiento cortical y reducción del volumen estriatal.

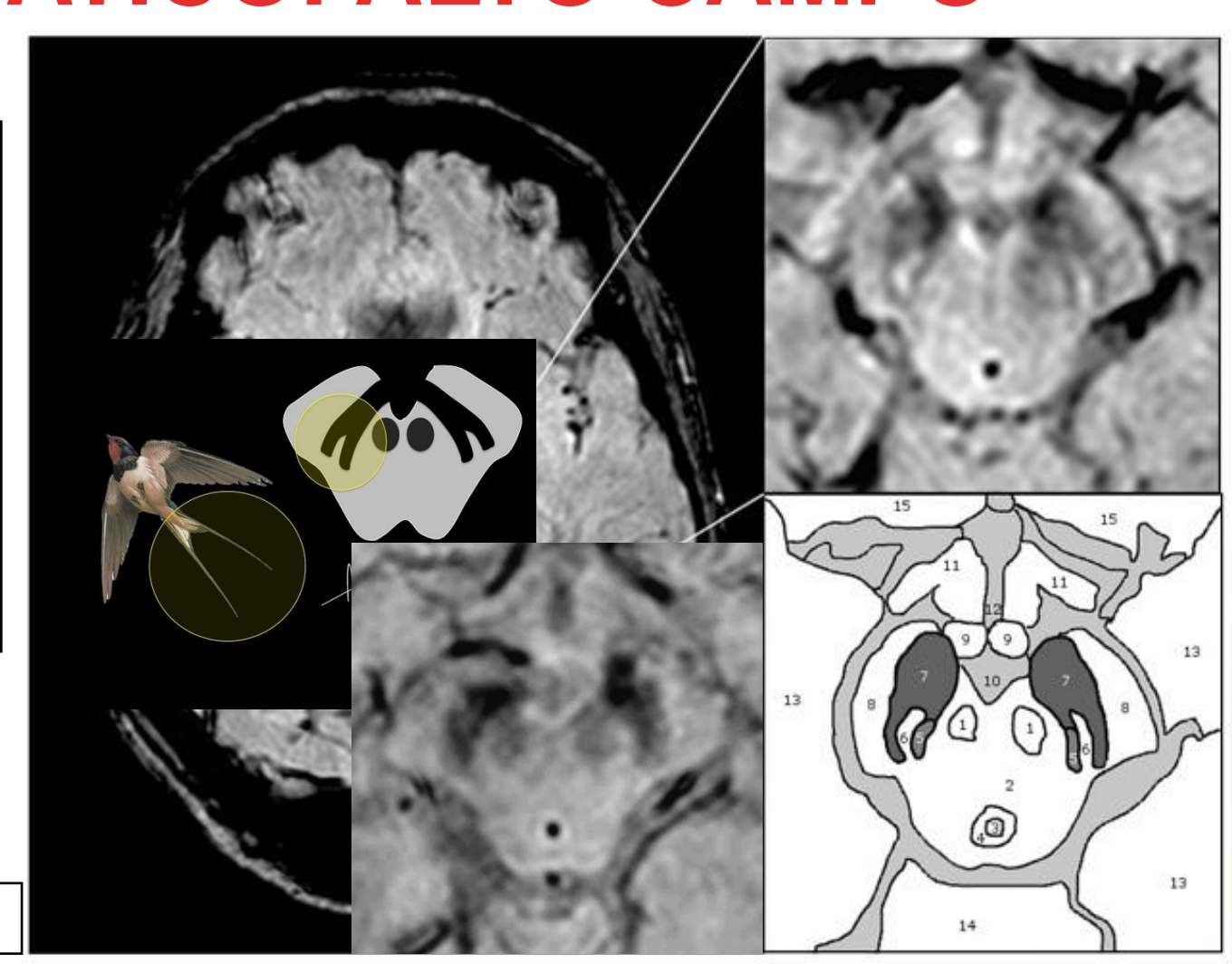


Radiología en la Patología Neurodegenerativa, Desmielinizante e Infecciosa del SNC

15 y 16 de febrero de 2024 | MADRID

# PARKINSON IDIOPATICO: ALTO CAMPO

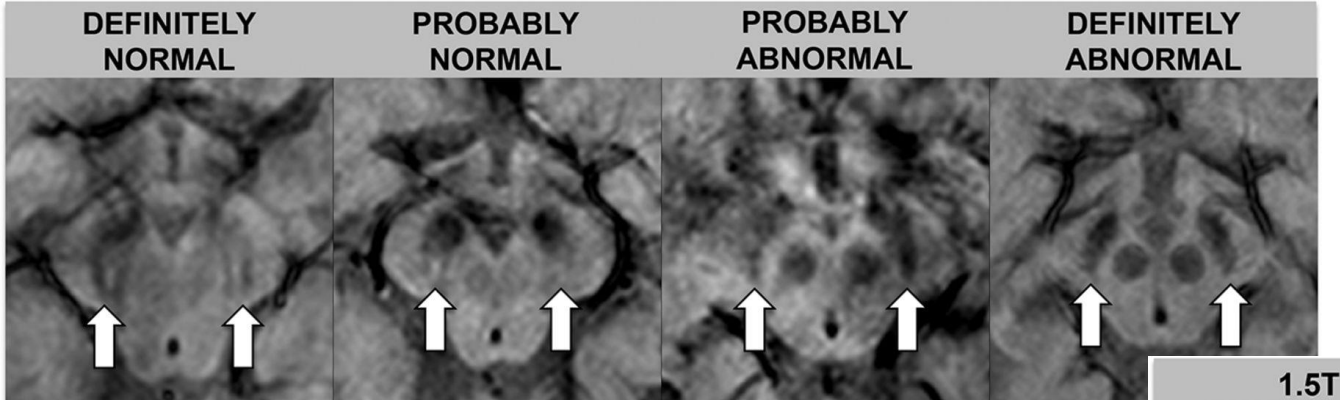
- "Swallow tail sign" (golondrina)
- Dorsal nigral hyperintensity (DNH)
- Nigrosoma-1
- 100% S, 95% E EP vs Controles sanos
- 3Tesla > 1.5 Tesla
- No aprobado para dgo EP
- Paper original voxel 0.55 x 0.55 x 0.7 mm



Cortesía de Andrew Dixon, Radiopaedia.org, rID: 31112







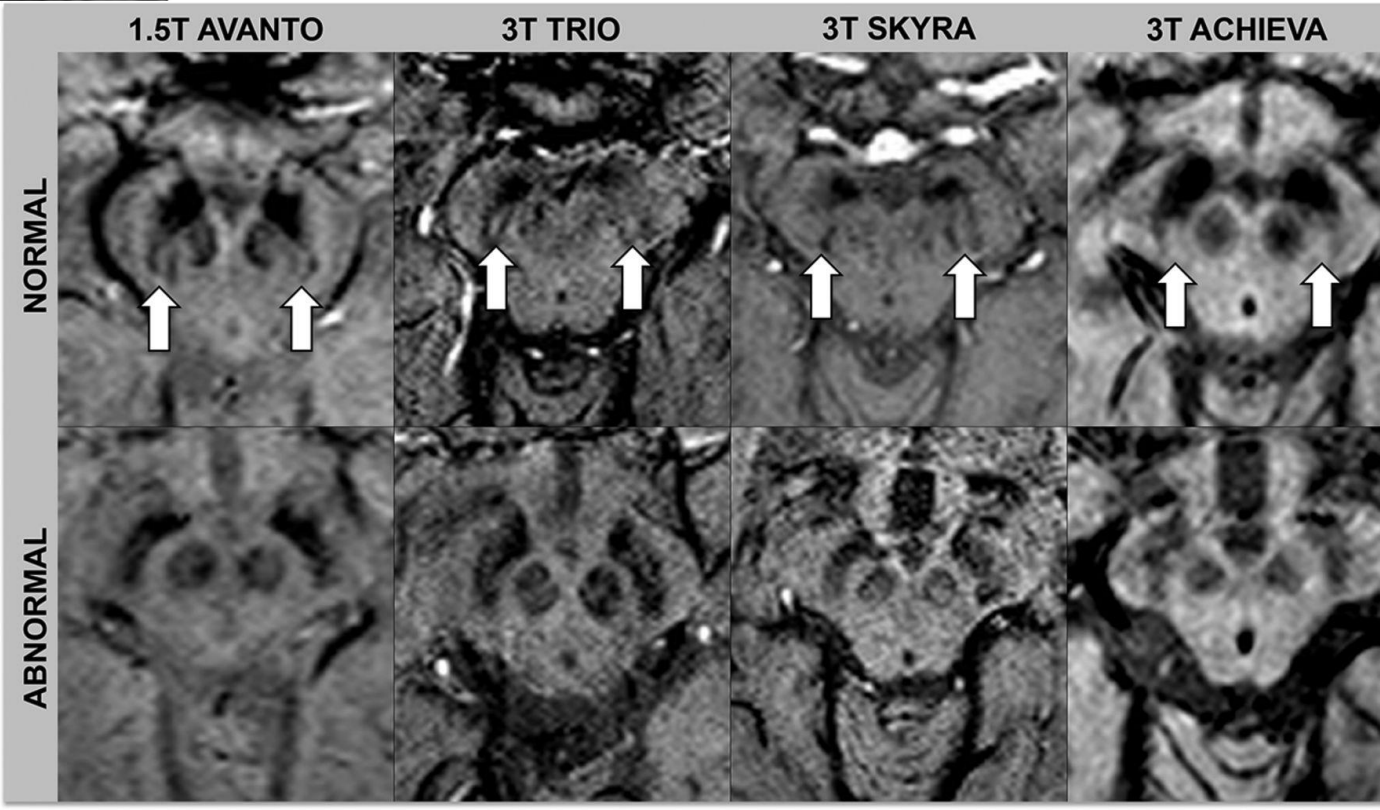






Table 4

15 y 16 de febrero de 2024 | MADRID

# MR PARKINSONISM INDEX (MRPI)

- Área Protuberancia
- Área Mesencéfalo
- Pedúnculo cereb. m
- Pedúnculo cereb. su

MR Parkinsonism Index for Differentiation of Patients with PSP from Patients with PD
and MSA-P and Control Participants

Cutoff and Statistical Values	MR Parkinsonism Index Value	MCP/SCP Value	P/M Value
PSP patients vs PD patients			
Cutoff value	≥13.55	≥2.69	≥4.88
Sensitivity (%)	100	78.8	90.9
Specificity (%)	100	88.9	93.5
PPV (%)	100	68.4	81.1
PSP patients vs MSA-P patients			
Cutoff value	≥12.85	≥2.43	≥4.62
Sensitivity (%)	100	93.9	97.0
Specificity (%)	100	89.5	94.7
PPV (%)	100	93.9	97.0
PSP patients vs control participants			
Cutoff value	≥13.58	≥2.69	≥4.65
Sensitivity (%)	100	78.8	97.0
Specificity (%)	100	88.0	94.0
PPV (%)	100	81.2	91.4

Note.—Optimal cutoff values were determined by using receiver operating characteristic curve analysis.

Superior cerebellar peduncle On coronal image in the first image on which the SCP and the inferior colliculus are separated

Middle cerebellar peduncle On the parasagittal image that best shows the MCP between the pons and the cerebellum

MRPI P x MCP SCP

MRPI index: cut off > 13.55



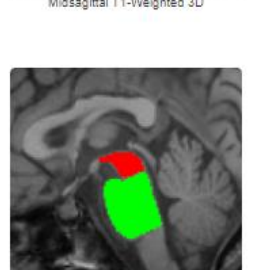




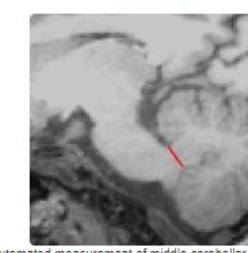


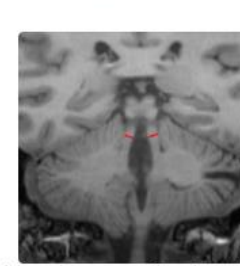


- PSP-P vs PD
- Cut-off ≥ 2.91
- S 100%, E 94.3%

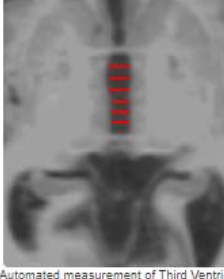


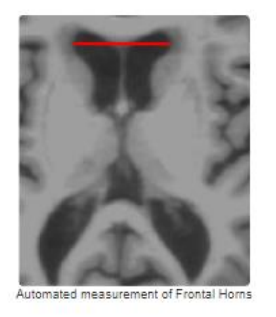






peduncles width



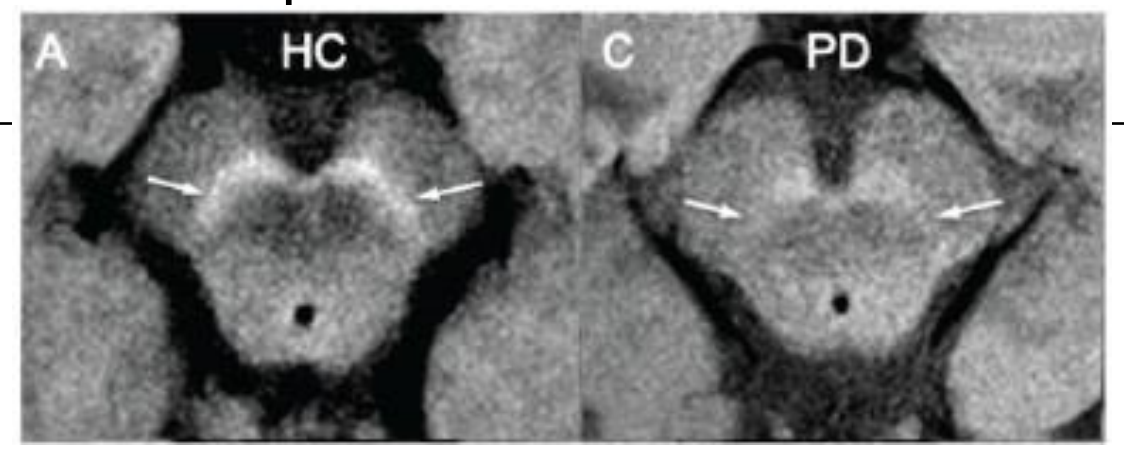




15 y 16 de febrero de 2024 | MADRID

## **NEUROMELANINA**

- NM pigmento intracelular granular oscuro neuronas catecolaminérgicas de la SNpc y el locus coeruleus
- Alta intensidad de señal TSE ponderadas en T1 a 3 T
- EP vs sanos **S 73% E 87%** SNpc \*
- Valoración cualitativa similar a cuantitativa\*
- No estandarizado en práctica clínica diaria





15 y 16 de febrero de 2024 | MADRID











NeuroImage: Clinical Volume 3, 2013, Pages 481-488

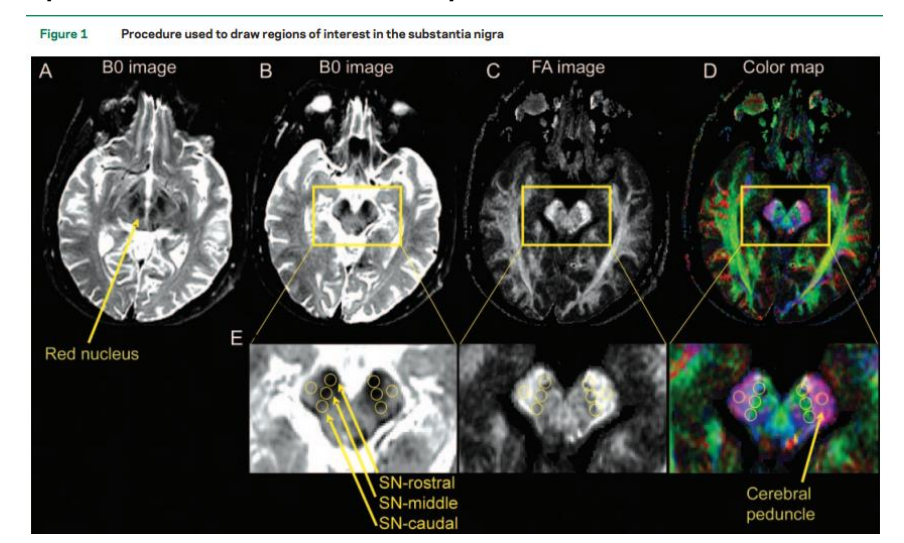


ARTICLES | January 7, 2009

High-resolution diffusion tensor imaging in the substantia nigra of de novo Parkinson disease

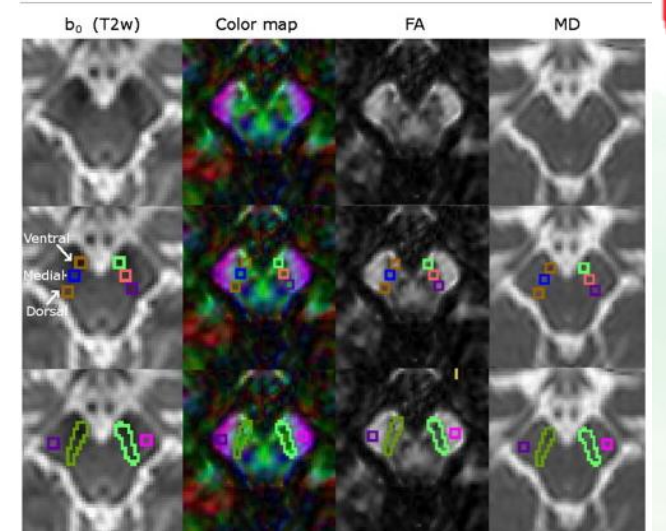
D. E. Vaillancourt, PhD. M. B. Spraker, BS. I. Prodoehl, PhD. PT. I. Abraham, D. M. Corcos, PhD. X. I. Zhou, PhD. C. L. Comella, MD. and D. M. Little

"Fractional anisotropy (FA) was reduced in the SN of subjects with PD compared with controls (p < 0.001)"



Diffusion tensor imaging of nigral degeneration in Parkinson's disease: A region-of-interest and voxel-based study at 3T and systematic review with metaanalysis

Stefan T. Schwarz a A Maryam Abaei A Namsi Gontu B Namsi G Nin Bajaj <sup>d</sup> ⋈, Dorothee P. Auer <sup>a</sup> ⋈







15 y 16 de febrero de 2024 | MADRID

# QSM: quantitative susceptibility mapping



Análisis del depósito regional de hierro con mapeo de susceptibilidad magnética aparente en pacientes en enfermedad de Parkinson y temblor esencial

**Martín Bastida A**, Jiménez Huete A, Avilés Olmos I, Gorospe Osinalde A, Suárez Vega V, García de Eulate MR, Domínguez <u>Echávarri</u> P, Sánchez <u>Catasús</u> C, Rodríguez Oroz MC







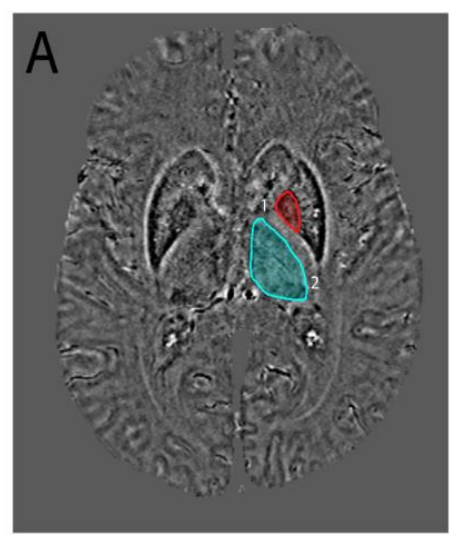


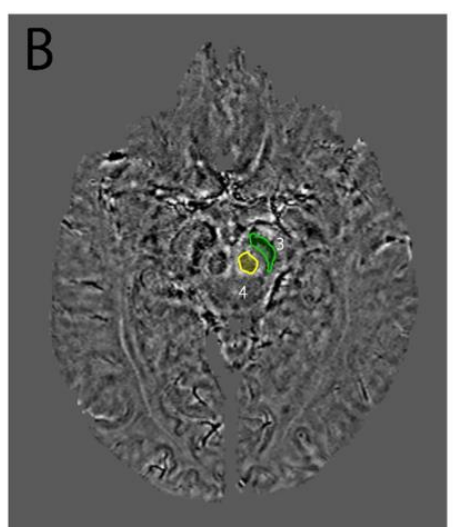


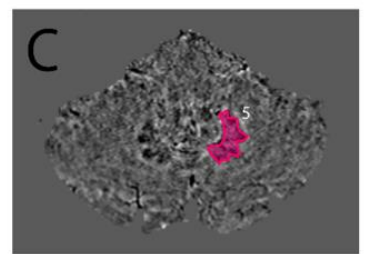
# Metodología

- Secuencia de SWI clínica (Siemens Skyra 3 T)
- Protocolo de QSM con <u>softaware</u> STI suite, FSL y Matlab (<u>Sjöström</u> 2019)
- Creación de mapas de susceptibilidad aparente
  - Combinación de magnitud y fase (tras unwrapping)
  - <u>Procersamineto</u> de V-SHARP de artefactos de inhomogeneidad
  - Cálculo por método de <u>least squares</u> (<u>iLSQR</u>)
- Segmentación de ROIs
  - Automatizada a nivel de GP y Tha (FSL-FIRST)
  - Manual en SN, RN y DN (basados en atlas <u>Sasafi</u> 2022; <u>Duvernoi</u> 2012)
- · Análisis estadístico
  - ANOVA entre grupos
  - Correlación múltiple
  - Regresión lineal múltiple de <u>ROIs</u> ajustando por edad y sexo

## Mapa QSM "aparente"

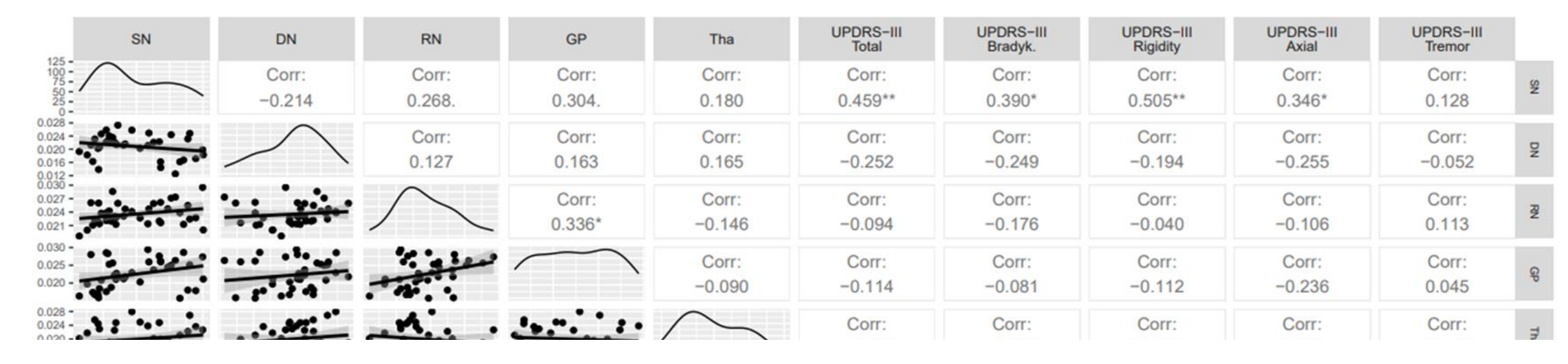




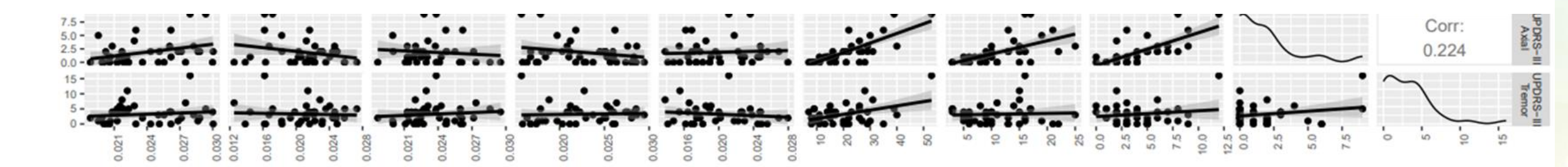




Radiología en la Patología Neurodegenerativa, Desmielinizante e Infecciosa del SNC



- Depósito de hierro específico en núcleos involucrados a nivel de vías de temblor
  - 个SN en EP > controles y TE
  - ↑RN en EP y TE > controles.







Registro

Registrat

000

000

#### INFORME ESTANDARIZADO: DETERIORO COGNITIVO

### . Protocolo recomendado de imagen:

Axial SET2 y FLAIR (3-5 mm)
Axial EGT2 (T2\*) o SWI (3-5 mm)
Difusión Axial (3-5 mm)
Secuencia T1 3D (eco de grandiente o SE) con voxel isotrópico ≤1 mm. Reconstrucciones multiplanares.

#### 2. Hallazgos:

2.1. Atrofia (valorada en T1 o FLAIR)

Atrofia cortical global: Escala ACG Eur. Neurol. 1996;36 (5): 268-72

Seleccionar opción	~

## Imágenes de referencia

Hipocampos

Derecho: Escala MTA: J Neurol Neurosurg Psychiatry 1992;55:967-72



Izquierdo: Escala MTA: J Neurol Neurosurg Psychiatry 1992;55:967-72

Seleccionar opción	~
--------------------	---

## Imágenes de referencia

Atrofia cortical posterior: Escala de Koedman: Eur Radiol 2011;21:2618-25

Seleccionar opción	~
--------------------	---

Predominancia derecha/Predominancia izquierda: Dement Geriatr Cogn Disord 2007;23:334-42

|--|

## Imágenes de referencia

Atrofia frontotemporal anterior: Escala de Kipps y Davies:



Escala de Kipps y Davies predominancia derecha/predominancia izquierda:



## Imágenes de referencia



Atrofia de estructuras de fosa posterior :

Э.	ВΛ	00	OF	200	ΔŤ	-al	$\sim$
- 1	IVI	es	CI	ıv	CI	aı	v





Seleccionar	opción		~

## NTACTO

## Patrón de Hidrocefalia Normotensiva (HNT):

Seleccionar opción	,
--------------------	---

## 2.2. Patología vascular:

Lesiones de sustancia blanca: Escala de Fazekas: AJNR Am J Neuroradiol 1987;8:421-6



## Imágenes de referencia

## Infartos de vaso grande:



## Microhemorragias:



## 2.3. Alteraciones en difusión:

## Alteraciones en difusión:



## 2.4. Lesiones estructurales:

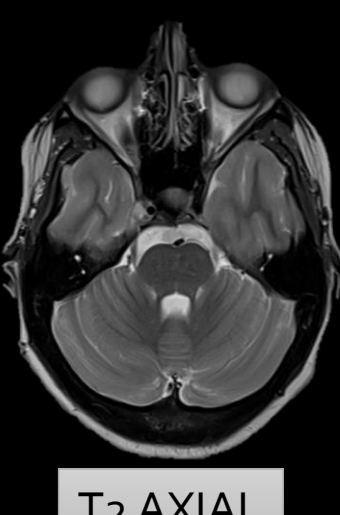
## Lesiones estructurales:



Generar informe

Borrar informe

v



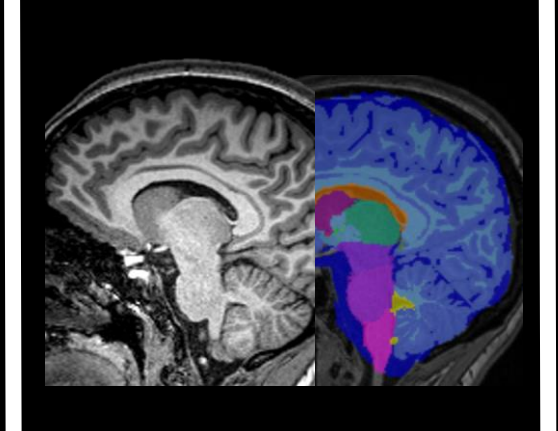
T<sub>2</sub> AXIAL

Valorar fosa post

Infartos cerebel

Tronco encéfalo

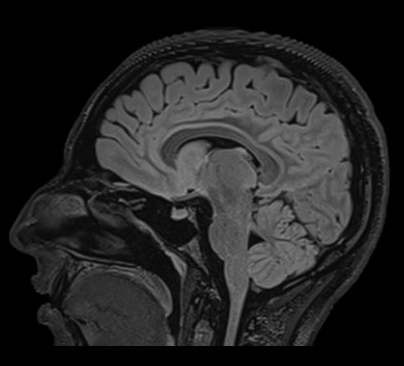
Senos paranas



T<sub>1</sub> MPRAGE + VOL

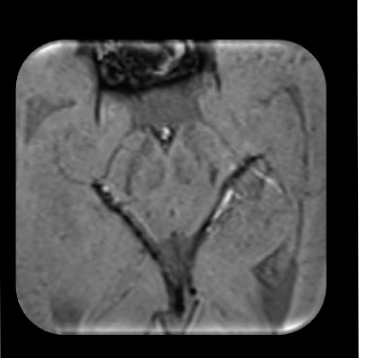
Cualitativa y cuantitativa (volumetría)

> Índices: ACG MTLA Koedam Kipp & Davies



FLAIR<sub>3</sub>D

Enfermedad pequeño vaso Fazekas

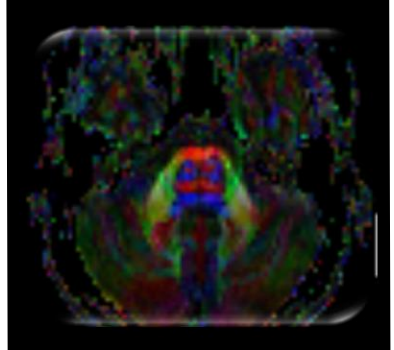


SWI

Micro sangrados

Depósitos férricos

Colibrí en SNpc Ng 1



DTI

Cuantif

FA DA DR SNpc



T1 NEUROMELANINA

Cualitat

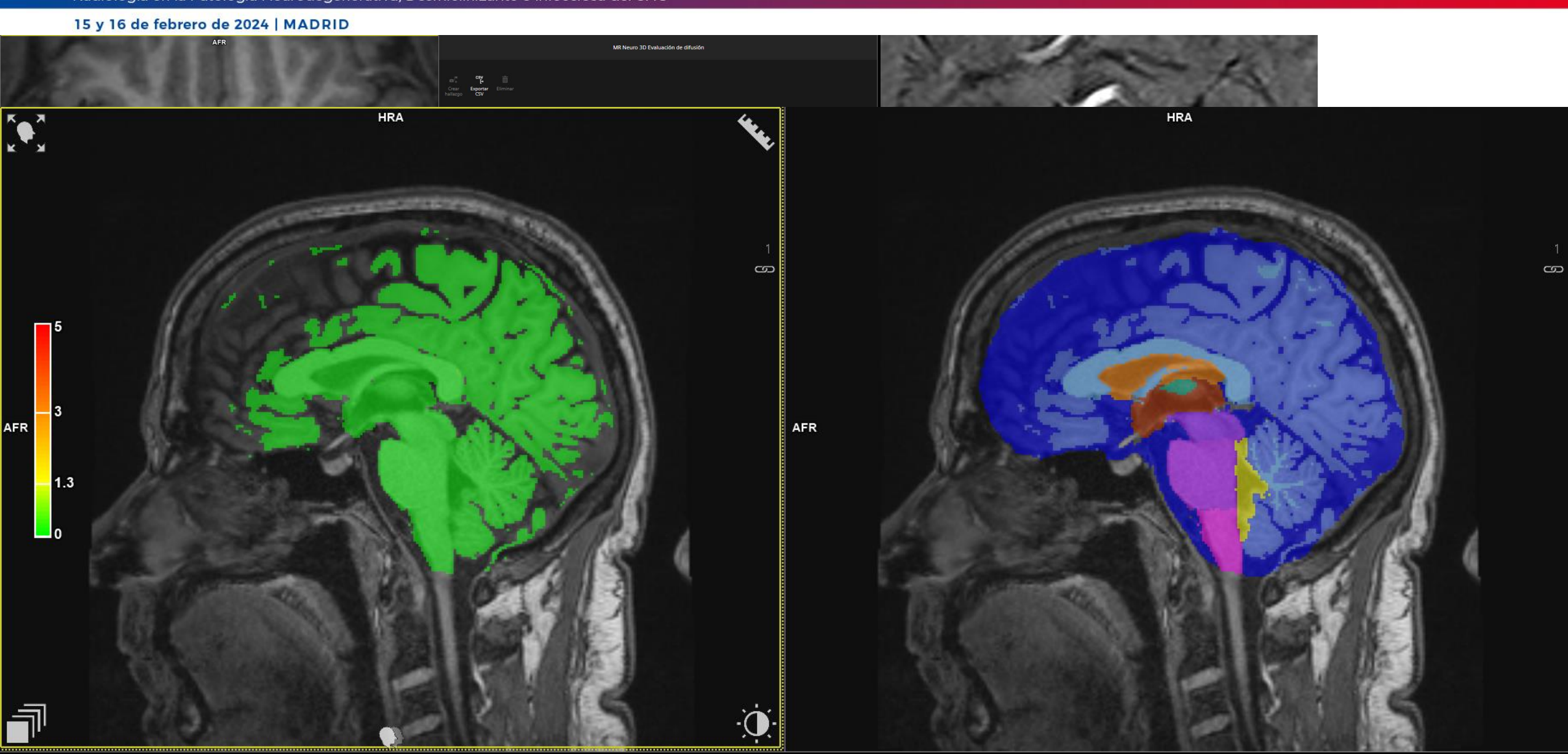
Cuantitat U Int Señal



# Parkinsonismo asimétrico de predominio derecho



Radiología en la Patología Neurodegenerativa, Desmielinizante e Infecciosa del SNC



Revisión de EP y parkinsonismos atípicos

"Red flags" y hallazgos de imagen característicos de atípicos

EP idiopática

Imagen de SNpc
DNH (Ng1)
Neuromelanina
DTI



Informe estructurado de Trastornos del movimiento

Abordaje práctico de estudio de RM de Trast Mov

EP vs Parkinson atípicos

Práctica clínica vs investigación

Secuencias avanzadas





vvega@unav.es @VictorSuarez\_RX